

5- CAMPO MAGNETICO EN LA MATERIA

20

Los constituyentes de la materia, átomos y moléculas, pueden ser considerados como pequeños dipolos magnéticos los cuales están en permanente orientación al azar por la agitación térmica. Por aplicación de un campo magnético externo pueden tener un torque que los obligue a orientarse bien en la dirección del campo (paramagnetismo) o bien en dirección opuesta al campo (diamagnetismo).^(*) Existen otros materiales, los ferromagnéticos, que tienen la propiedad de retener la magnetización cuando cesa el campo exterior magnetizante.

Recordemos que \vec{m} es un dipolo magnético (pequeño circuito plano de área S') $\vec{m} = I \cdot \vec{S}$ (regla mano derecha), y \vec{B} es un campo excepto el externo, la fuerza y el torque sobre \vec{m} debidos a \vec{B} son

$$\left\{ \begin{array}{l} \vec{\tau} = \vec{m} \times \vec{B} \\ \vec{F} = \vec{\nabla}(\vec{m} \cdot \vec{B}) \end{array} \right.$$

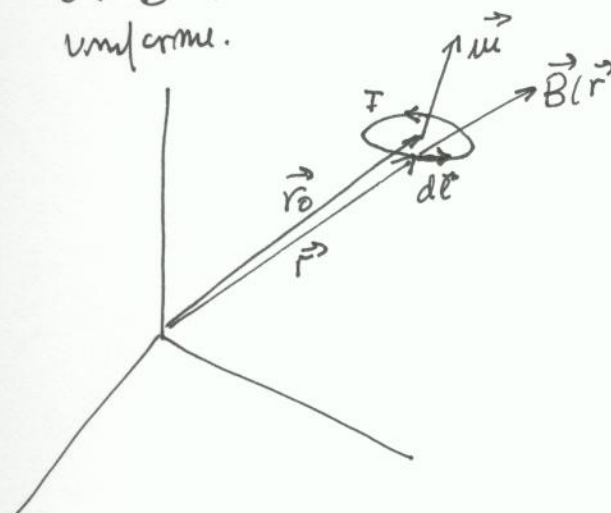
Si \vec{B} es uniforme, $\vec{F} = 0$ pero $\vec{\tau} \neq 0$. Puedo asumir \vec{B} no sea uniforme dado que el dipolo es una pequeña espira

se puede desarrollar por Taylor para escribir

$$\vec{B}(\vec{r}) = \vec{B}(\vec{r}_0) + (\vec{r} \cdot \vec{\nabla}) \vec{B}(\vec{r}) / \Big|_{\vec{r}=\vec{r}_0} + O(>1)$$

$$\vec{F} = \int I \cdot d\vec{l} \times (\vec{B}(\vec{r}_0) + (\vec{r} \cdot \vec{\nabla}) \vec{B}(\vec{r}) / \Big|_{\vec{r}=\vec{r}_0}) =$$

$$= \int I d\vec{l} * (\vec{r} \cdot \vec{\nabla}) \vec{B}(\vec{r}) / \Big|_{\vec{r}=\vec{r}_0} \equiv \vec{\nabla} \cdot (\vec{m} \cdot \vec{B}(\vec{r}))$$

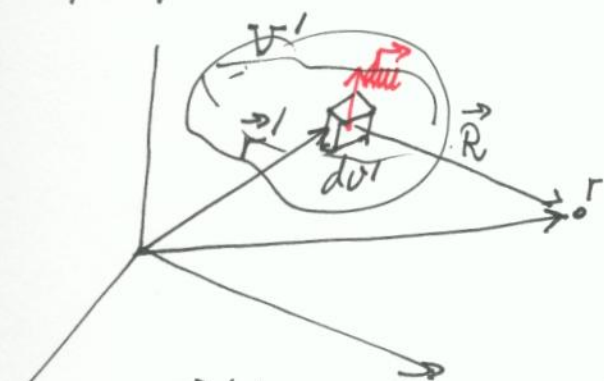


^(*) Algunos materiales adquieren una magnetización, que es la capacidad de producir un campo magnético.

En presencia de un campo magnético, la materia se MAGNETIZA, es decir los dipolos se alinean. El estado de magnetización se mide por el vector \vec{M} que es el momento dipolar magnético por u. de vol. \vec{M} es el vector IMANACION ($\vec{\mu}$ ' magnetización) y tiene el mismo papel que el vector polarización \vec{P} de los dielectricos. Un cuerpo manado produce un campo magnético. Para un dipolo simple

$$\vec{A}(\vec{r}) = \frac{\mu_0}{4\pi} \frac{\vec{\mu} \times \vec{u}_R}{r^2}$$

pero para una distribución de dipolos $\vec{M}(\vec{r}')$



$$\vec{A}(\vec{r}) = \frac{\mu_0}{4\pi} \int_{V'} \frac{\vec{M}(\vec{r}') \times \vec{u}_R}{R^2} dV'$$

pero $\vec{\nabla}' \frac{1}{R} = \frac{\vec{u}_R}{R^2}$ de donde

$$\vec{A}(\vec{r}) = \frac{\mu_0}{4\pi} \int_{V'} \left[\vec{M}(\vec{r}') \times \vec{\nabla}' \left(\frac{1}{R} \right) \right] dV' = \frac{\mu_0}{4\pi} \int_{V'} \frac{1}{R} \left(\vec{\nabla}' \times \vec{M}(\vec{r}') \right) dV' -$$

$$- \int_{V'} \vec{\nabla}' \times \left(\frac{\vec{M}(\vec{r}')}{R} \right) dV'$$

$$\vec{J}_b = \vec{\nabla}' \times \vec{M}(\vec{r}')$$

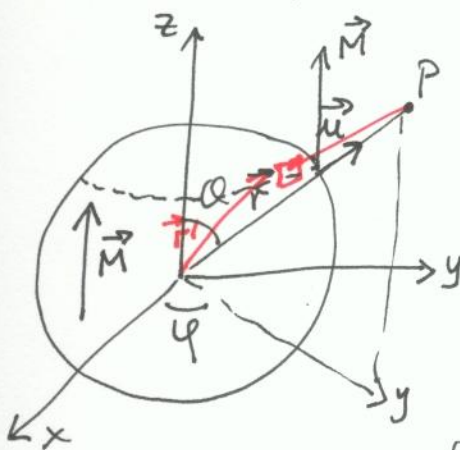
$$\vec{K}_b = \vec{M}(\vec{r}') \times \vec{\mu}$$

$$\boxed{\vec{A}(\vec{r}) = \frac{\mu_0}{4\pi} \int_{V'} \frac{1}{R} (\vec{\nabla}' \times \vec{M}(\vec{r}')) dV' + \frac{\mu_0}{4\pi} \oint_{S'} \frac{1}{R} (\vec{M}(\vec{r}') \times d\vec{S}')}$$

$$= \frac{\mu_0}{4\pi} \int_{V'} \frac{\vec{J}_b(\vec{r}')}{R} dV' + \frac{\mu_0}{4\pi} \oint_{S'} \frac{\vec{K}_b(\vec{r}')}{R} dS'$$

\vec{J}_b se interpreta como corrientes ligadas equivalentes en el volumen considerado, mientras que \vec{K}_b son corrientes en la superficie del volumen. Son corrientes NO LIBRES o LIGADAS ya que tienen poca control en el sentido de que no las podemos anular, solo son producidas por campos externos las podemos controlar a partir del campo externo.

Ejemplo 1: Campo magnético creado por una esfera uniformemente magnetizada en la dirección z



$$\vec{J}_b = \vec{\nabla} \times \vec{M} = 0 \text{ para } \text{uniforme}$$

$$K_b = \vec{M} \times \vec{u} = M \sin \theta \vec{u}_\phi$$

$$\vec{A} = \frac{\mu_0}{4\pi} \oint_S \frac{M \sin \theta}{R} \vec{u}_\phi dS' \quad (\text{No es fácil de calcular.})$$

$$\left\{ \begin{array}{l} \vec{B} = \vec{\nabla} \times \vec{A} = \frac{2}{3} \mu_0 \vec{M} \text{ dentro de la esfera} \\ \vec{B} = \frac{\mu_0}{4\pi r^3} (3(\vec{M} \cdot \vec{u}_r) \vec{u}_r - \vec{M}) \text{ fuera de la esfera} \end{array} \right.$$

$$\text{(campo de un dipolo con } m = \frac{4}{3}\pi R^3 M \text{)}$$

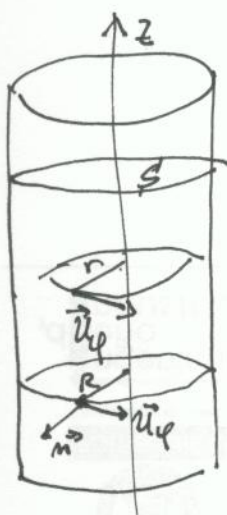
Ejemplo 2 (prob. 6.8 pg 265)

Un cilindro largo de radio R lleva la magnetización $\vec{M} = Kr^2 \vec{u}_z$

Un cilindro largo de radio R lleva la magnetización $\vec{M} = Kr^2 \vec{u}_z$

$$\vec{\nabla} \times \vec{M} = \vec{J}_b = \frac{1}{r} \frac{\partial}{\partial r} (r M_\phi) \vec{u}_z = \frac{1}{r} \frac{\partial}{\partial r} (kr^3) \vec{u}_z = \frac{1}{r} 3kr^2 \vec{u}_z = 3kr^2 \vec{u}_z$$

$$\text{y } K_b = \vec{M} \times \vec{u} = KR^2 \vec{u}_\phi \times \vec{u}_r = -KR^2 \vec{u}_z$$



$$\text{Nota: } \int_S J_b dS = \int_0^R 3kr \cdot 2\pi r dr = 2\pi k R^3 \quad \left. \right\} \text{ suma cero}$$

$$\int_L K_b \cdot dl = -KR^2 \cdot 2\pi R = -2\pi KR^3$$

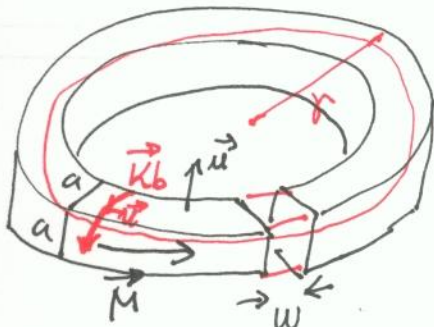
$$B \cdot 2\pi r = \mu_0 \int_0^r J_b \cdot ds = \mu_0 \cdot 2\pi k r^3 \Rightarrow \left| \begin{array}{l} \vec{B}(r) = \frac{\mu_0 k r^2}{r} \vec{u}_\phi = \frac{\mu_0 M}{r} \vec{u}_\phi \\ r < R \end{array} \right|$$

$$B \cdot 2\pi r = \mu_0 \left[\int_0^R J_b dS + \int_L K_b dl \right] = 0 \Rightarrow \left| \begin{array}{l} \vec{B}(r) = 0 \\ r > R \end{array} \right|$$

Ejemplo 3: (prob. 6.10 pag 266)

(23)

Una varilla cuadrada de lado a se dobla en forma de conullo con un gap de ancho w como indica la figura. Si esta manada \vec{M} con una magnetización uniforme a lo largo de la varilla, calcula el campo magnético en el gap.



= ANILLO COMPLETO + TROZO DEL GAP
SIN GAP CON $-\vec{M}$

luego el campo en el gap sera el campo del anillo completo en el gap - el campo creado por una espira en su centro con corriente causada por magnetización $-\vec{M}$

$\vec{J}_b = 0$ y $\vec{K}_b = \vec{M} \times \vec{H} = \vec{M} \vec{H}$
el campo en el interior se halla por el teorema de Ampere aplicado a la curva de la figura (es como un solenoide toroidal)

$$2\pi r B(r) = \mu_0 I_a = \mu_0 M \cdot 2\pi r \quad \text{ya que } K_b = M \text{ corriente para v. de los lados normales la dirección de } \vec{K}_b$$

$B(r) = \mu_0 M$ en el interior del material (campo uniforme, como \vec{H})
Por otro lado, el campo producido por una espira cuadrada en su centro y recorrida por una corriente $I = M \cdot w$ en sentido contrario, vale

$$B = \frac{\mu_0 I}{4\pi a/2} \cdot 2 \sin \theta \quad \left. \right\} B = \frac{\mu_0 I}{\pi a \sqrt{2}} = \frac{2\sqrt{2}\mu_0 I}{\pi a} = \frac{2\sqrt{2}\mu_0 M W}{\pi a}$$

$$\sin \theta = \frac{a/2}{\sqrt{(a/2)^2}} = \frac{1}{\sqrt{2}}$$

Por tanto el campo en el gap vale

$$\boxed{\vec{B} = \mu_0 \vec{M} - \frac{2\sqrt{2}\mu_0 \vec{M} W}{\pi a} = \mu_0 \vec{M} \left(1 - \frac{2\sqrt{2}W}{\pi a} \right)}$$

5.1 - EL TEOREMA DE AMPERE EN PRESENCIA DE MATERIA

24

Recordemos que en el vacío $\oint \vec{B} \cdot d\vec{l} = \mu_0 I_{\text{pa}}$ donde I_{pa} es la intensidad atrapada en la corriente de amperio Pa . Ya que $I_{\text{pa}} = \iint_S \vec{J} \cdot d\vec{S}$ se sabe que $\nabla \times \vec{B} = \mu_0 \vec{J}$. El campo espacial de corrientes se refiere a corrientes LIBRES. Sin embargo ahora hay otra clase de corrientes, las LIGADAS $\vec{J}_b = \nabla \times \vec{M}$ siendo \vec{M} la magnetización de la materia circundante. Así $\vec{J} = \vec{J}_e + \vec{J}_b$

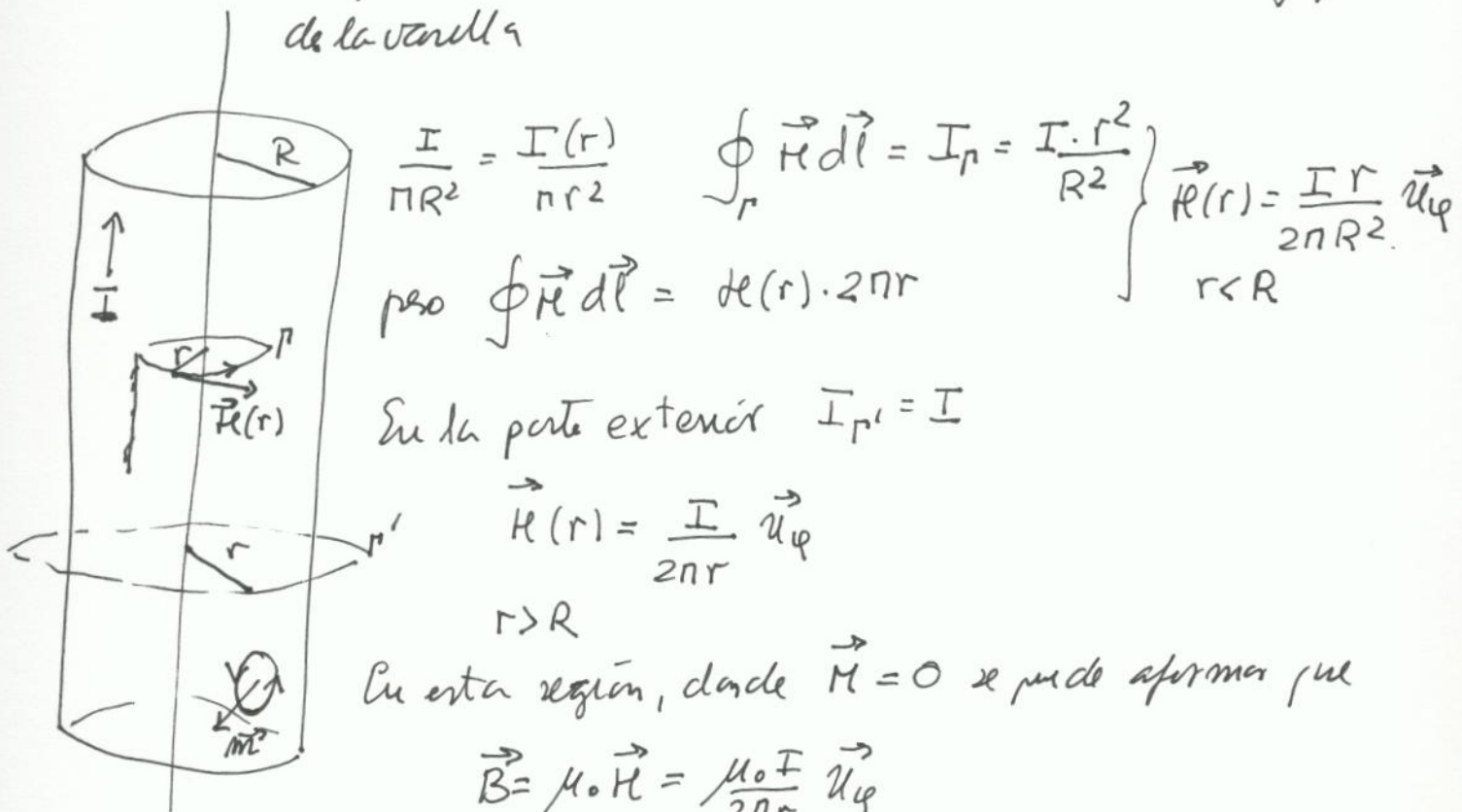
$$\frac{1}{\mu_0} (\nabla \times \vec{B}) = \vec{J}_e + \vec{J}_b = \vec{J}_e + \nabla \times \vec{M} \Rightarrow \nabla \times \left(\frac{\vec{B}}{\mu_0} - \vec{M} \right) = \vec{J}_f$$

Si definimos un nuevo campo vectorial $\vec{H} = \frac{\vec{B}}{\mu_0} - \vec{M}$ la ley de Ampere en presencia de materia queda

$$\nabla \times \vec{H} = \vec{J}_f \Leftrightarrow \oint_{\text{Pa}} \vec{H} \cdot d\vec{l} = I_{\text{fp}}$$

Note: Anímos $\nabla \vec{B} = 0$ no lo es $\nabla \cdot \vec{H} = -\nabla \cdot \vec{M}$

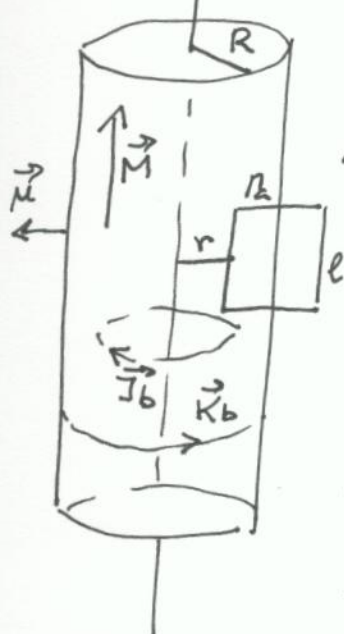
Ejemplo-1: Una varilla cilíndrica de cobre transporta una corriente I uniformemente distribuida. Encontrar \vec{H} dentro y fuera de la varilla



Nota: \vec{M} no se sabe como es dentro del cobre pues es débilmente diamagnética y por ello \vec{M} va en contra de \vec{B} , que es todo quanto se puede oponer

Nota: El magnetismo \vec{H} es más útil que \vec{B} ya que \vec{B} depende del tipo de material y \vec{H} está controlado por el corriente que uno aplica mediante baterías o generadores. En cambio en electrostática \vec{E} es más importante que \vec{D} aunque \vec{D} solo le afectan las cargas libres, por lo que para un experimento eléctrico con materiales neutros aplicar una batería que suministre una ddp, la cual está en relación con \vec{E} y no con \vec{D} (que no varía de un potencial.)

Ejemplo - 2: Un aluminio muy largo de radio R está magnetizado en la dirección del eje con la ley $\vec{M} = K r \vec{u}_z$ con K cte. No hay corrientes libres. Calcular el campo magnético \vec{B} dentro y fuera del aluminio.



a) mediante los corrientes ligadas

$$\vec{J}_b = \nabla \times \vec{M} = - \frac{\partial M_z}{\partial r} \vec{u}_\phi = -K \vec{u}_\phi$$

aluminio.

$$\vec{K}_b = \vec{M} \times \vec{u} = K R \vec{u}_\phi$$

Es la superposición de 2 solenoides $\vec{B} = 0$ fuera y

$$\oint \vec{B} \cdot d\vec{l} = \mu_0 I_{N_a} = \mu_0 \left[\int_{S_a} \vec{J}_b d\vec{s} + \int_{S_a} \vec{K}_b \cdot d\vec{l} \right] =$$

$$= \mu_0 \left[-K \cdot l(R-r) + K R l \right] = \mu_0 K l r$$

$$\text{con lo que } l \cdot \vec{B}(r < R) = \mu_0 K l r \vec{u}_z \Rightarrow \vec{B}(r < R) = \mu_0 K r \vec{u}_z$$

b) otra método. Usando la misma curva de Ampere.

$$\oint \vec{H} \cdot d\vec{l} = H \cdot l = \mu_0 I_e = 0 \Rightarrow H = 0 \text{ de donde } \vec{B} = \mu_0 \vec{M}$$

$$\text{ya que } \vec{M} = 0 \text{ fuera } \vec{B}(r > R) = 0 \quad \boxed{\vec{B} = \mu_0 K r \vec{u}_z} \quad r < R$$

5.2 - CONDICIONES DE CONTORNO CON MATERIA IMANADA

Ya que $\nabla \vec{H} = \frac{\vec{\nabla} \vec{B}}{\mu_0} - \vec{P} \vec{M}$, aplicando esto a los renglones de la página 15 (47)

$$\boxed{H_{1\perp} - H_{2\perp} = - (M_{1\perp} - M_{2\perp})}$$

Mientras que

$$\boxed{\vec{H}_2 - \vec{H}_1 = \mu \vec{k}_e \times \vec{u}}$$

Note: Si no existen corrientes libres, solo material imanado, $\vec{J} \times \vec{H} = 0$ en todas partes, lo cual incluye que $\vec{H} = -\vec{P}W$ donde W es un potencial escalar, por lo que $\vec{P} \cdot \vec{H} = -\vec{P} \vec{M}$ se transforma en

$$\vec{V} \cdot (-\vec{P}W) = -\vec{P} \vec{M} \Rightarrow \boxed{\vec{\nabla}^2 W = \vec{P} \cdot \vec{M}}$$

lo que nos permite encontrar $W(\vec{r})$ y por tanto, \vec{H} y \vec{B}

5.3 - MEDIOS MAGNETICOS LINEALES

En materiales diamagnéticos y paramagnéticos, \vec{M} es producido por \vec{B} . Si \vec{B} desaparece también lo hace \vec{M} . Para estos materiales y otros se dice que el campo excitador no sea muy intenso

$$\vec{M} = \chi_m \vec{B}$$

$$\boxed{\vec{M} = \chi_m \vec{H}}$$

con χ_m = susceptibilidad magnética. Con esta propiedad, se definen los materiales magnéticamente **LINELAES**.

N: $\chi_m < 0$ para diamagnéticos y $\chi_m > 0$ para paramagnéticos

Para los materiales lineales

$$\boxed{\vec{B} = \mu_0 (\vec{H} + \vec{M}) = \mu_0 \left(1 + \chi_m\right) \vec{H} = \mu_0 \mu_r \vec{H} = \mu \cdot \vec{H}}$$

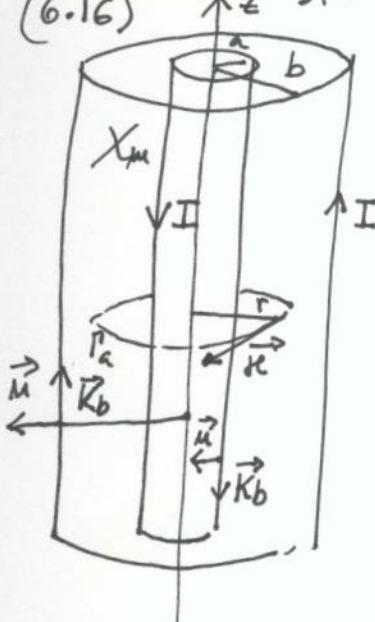
μ es la permeabilidad magnética del material.

Nota: las corrientes ligadas en el volumen de un material lineal.
son proporcionales a las corrientes libres presentes.

$$\boxed{\vec{J}_b = \vec{V} \times \vec{M} = \vec{V} \times (\chi_m \vec{H}) = \chi_m \vec{J}_f}$$

por lo que a menos que trate de corrientes libres fluyendo a través del material, **toda la corriente ligada irá POR LA SUPERFICIE**

Ejemplo-1: Para el interior de la figura encontrar \vec{B} para $a < r < b$
(6.16) Si el material entre los cilindros es lineal con χ_m



$$\oint \vec{H} d\vec{l} = \vec{I}_f = I \Rightarrow 2\pi r H(r) = I \Rightarrow H(r) = \frac{I}{2\pi r} (-\vec{u}_q)$$

$$\text{por tanto } \vec{B} = \mu_0 (1 + \chi_m) \cdot \vec{H} = -\frac{\mu_0 (1 + \chi_m)}{2\pi r} \vec{u}_q \text{ para } a < r < b$$

$$\text{d' amanacón vale } \vec{M} = \chi_m \vec{H} = -\frac{I \chi_m}{2\pi r} \vec{u}_q$$

y las corrientes ligadas valen

$$\vec{J}_b = \vec{V} \times \vec{M} = \frac{1}{r} \frac{\partial}{\partial r} (r \cdot M_q) \vec{u}_z = 0$$

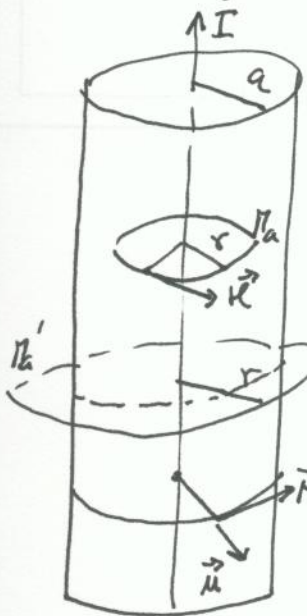
$$\vec{K}_b = \vec{M} \times \vec{u} = \begin{cases} |M(r)| \vec{u}_z & \text{si } r = b \\ -|M(r)| \vec{u}_z & \text{si } r = a \end{cases} \quad \begin{cases} \frac{I \chi_m}{2\pi b} \vec{u}_z \\ -\frac{I \chi_m}{2\pi a} \vec{u}_z \end{cases}$$

Si lo hacemos a partir de \vec{B}

$$\oint \vec{B} \cdot d\vec{l} = \mu (I_f + I_b) = \mu \left(I + \frac{I \cdot \chi_m}{2\pi a} \cdot 2\pi a \right) = I (1 + \chi_m) \cdot \mu_0$$

$$\text{de donde } \vec{B} = -\frac{\mu_0 I (1 + \chi_m)}{2\pi r} \vec{u}_q \quad a < r < b$$

Ejemplo - 2 Una corriente I fluye por un conductor cilíndrico (6.17) de radio a y se reparte uniformemente. El conductor tiene χ_m y hay que calcular \vec{B} dentro y fuera. Calcular las corrientes ligadas y la corriente neta ligada que circula por el helio?



$$a) \oint \vec{H} d\vec{l} = I_p(\vec{I}_a) = I \frac{r^2}{a^2} \Rightarrow \vec{H}(r) = \frac{\mu_0 I}{2\pi r^2} \vec{u}_\phi \quad r < a$$

$$\frac{I}{\pi a^2} = \frac{I(r)}{\pi r^2}$$

$$\text{de donde } \vec{B}(r) = \frac{\mu_0 I}{2\pi a^2} r \vec{u}_\phi \quad (r < a)$$

b) para puntos fuera, se tiene.

$$\oint_{P_2} \vec{H} d\vec{l} = I \Rightarrow \vec{H}(r) = \frac{I}{2\pi r} \vec{u}_\phi \quad r > a$$

$$\text{y } \vec{B}(r) = \frac{\mu_0 I}{2\pi r} \vec{u}_\phi \quad (r > a) \quad \text{ya que fuera este el vacío}$$

los corrientes ligadas son

$$\vec{J}_b = \vec{V} \times \vec{H} = \vec{V} \times \chi_m \vec{H} = \chi_m \vec{J}_e \quad \text{pero} \quad \iint_S \vec{J}_e d\vec{s} = I \frac{r^2}{a^2} \Rightarrow J_e = \frac{I}{\pi a^2}$$

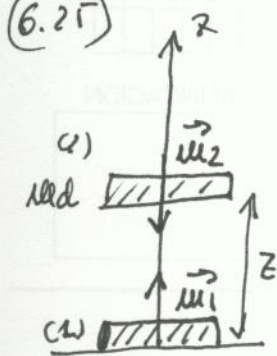
de modo que $\vec{J}_b = \frac{\chi_m I}{\pi a^2} \vec{u}_z$ vml/orme.

$$\text{y } \vec{K}_b = \vec{M} \times \vec{H} = \frac{\chi_m F}{2\pi a} (-\vec{u}_z)$$

$$\text{La corriente ligada total vale } I_b = \iint_S \frac{\chi_m F}{\pi a^2} d\vec{s} + K_b \cdot 2\pi a = \\ = \chi_m I + \frac{\chi_m I}{2\pi a} \cdot 2\pi a = 0$$

que es lo que debe ser

Ejemplo - 3 : Dos manes en forma de pastilla se sitúan enfrentados (29) como indica la figura. Si su momento magnético es M y la masa es md , a que distancia z "flotará" el man superior?



$$m_1 = m_2$$

El campo \vec{B}_1 actúa en la posición del man 2 \Rightarrow

$$\vec{B}_1 = \frac{\mu_0}{4\pi r^3} \left(2M \right) = \frac{\mu_0 M}{2\pi z^3} \vec{u}_2$$

$$\text{y la energía potencial del 2 es } U = -\vec{u}_2 \cdot \vec{B}_1 = \frac{\mu_0 M^2}{2\pi z^3}$$

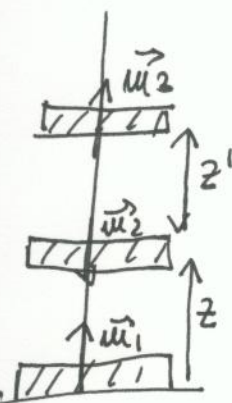
$$\text{por lo que } \vec{F} = -\vec{\nabla} U = -\frac{\mu_0 M^2}{2\pi} \frac{d}{dz} \left(\frac{1}{z^3} \right) \vec{u}_2 = \frac{3\mu_0 M^2}{2\pi z^4} \vec{u}_2$$

esta fuerza ha de compensar con el peso del man 2

$$\frac{3\mu_0 M^2}{2\pi z^4} = md \cdot g \Rightarrow \boxed{z = \left(\frac{3\mu_0 M^2}{2\pi mdg} \right)^{1/4}}$$

Ampliación de este problema: Suponga que colocamos un tercer man por encima y con \vec{m}_3 apuntando hacia arriba.

i) el man central está sometido a la repulsión de m_1 y a la repulsión de m_3



$$\frac{3\mu_0 M^2}{2\pi z^4} - \frac{3\mu_0 M^2}{2\pi z'^4} = md \cdot g$$

ii) El man superior es repelido por el man central y atraído por el man inferior

$$\frac{3\mu_0 M^2}{2\pi z'^4} - \frac{3\mu_0 M^2}{2\pi (z+z')^4} = md \cdot g$$

que es un sistema de ecuaciones en z y z' que da como resultado

$$\frac{z}{z'} = 0,850115 \quad (\text{usando Mathematica por ejemplo})$$